

課題名稱：800KV電纜型衝擊電壓
發生器設計，試制和試
驗研究總結報告

單元課題名稱：

研究報告類別：

密 級：

第一機械工業部電纜研究所
1964年月 上海

一、序 言

冲击电压发生器的主要元件——高压电容器绝大多数是採用具有集中参数特性的“脈冲电容器”（铁壳、胶木或瓷绝缘外壳的电容器），其迴路参数計算和波形分析国外已进行了很多的試驗研究工作，並有經典著作可直接採用。近十年来国内外某些電纜制造厂为介决大电容試品的冲击电压試驗，亦曾利用长電纜（粘性浸漬紙絕緣电力電纜）来代替脈冲电容器而做成所謂“電纜型冲击电压发生器”，如西德柏林電纜厂于1956年試制了一台 2500KV ， 70KW-S ， $22500\mu\text{F}$ “電纜型冲击电压发生器”；上海電纜厂利用普通的 35KV 单芯铅包粘性浸漬紙絕緣电力電纜于1959年試制了一台 1500KV ， 22.5KW-S ， $20000\mu\text{F}$ “電纜型冲击电压发生器”。

"電纜型衝擊電壓發生器"具有分布參數特性，其波形分析和迴路參數計算不同于集中參數的電容器型衝擊電壓發生器。有關"電纜型衝擊電壓發生器"波形分析及其迴路參數計算，已于1962年通過模擬試驗（將長電纜等值為由N級單元電容和電感組成的Π型迴路）結合數學推導加以分析計算（詳見"電纜型衝擊電壓發生器模擬線路試驗研究及波形理論分析"研究報告，1962年）。為了進一步試驗研究"電纜型衝擊電壓發生器"的全面性能（包括模擬線路所無法模擬的各級之間的級間電容及其對地之間的雜散電容和迴路雜散電感對衝擊電壓波形的影響），研究高參數衝擊電壓發生器採用電纜型的可能性，掌握有關衝擊電壓試驗和量測技術，為今後高壓電纜試驗基地準備條件，以及中介開展有關低壓電力電纜樣品和高壓電力電纜及附件模擬結構的衝擊電壓性能試驗研究工作所需的衝擊電壓發生器等，本課題貫徹"自力更生"的方針，根據1962年所進行模擬試驗所提供的數據，于1963年開始，利用現有35KV單芯鉛包粘性浸清紙絕緣電力電纜（長度約800M），自行設計、試制、按裝了一套"800

KV 电容型冲击电压发生器”。经过一年来不断调整，试验和改进，目前已全部完成，并通过波形鉴定试验，其性能基本上符合预定要求。

二、成套装置组成及其简要说明

本套冲击电压发生器系由下列主要部份组成：

1 冲击电压发生器主体

冲击电压发生器主体的结构形式主要是考虑如何尽可能的降低其总高度、放电回路尽可能短、各元件之间及其对地的杂散电容和电感尽可能小，以及整个结构的机械稳定性和调整维护方便等几个主要因素。

本冲击电压发生器主体系由 4 级相同元件（包括：高压电容器、充电电阻、放电电阻、阻尼电阻和导火球极及其传动机构等）组成（详见附图）。

高压电容器系由国产 OCB 型、35KV、 185mm^2 ，单芯（铝芯）、铅包、纸绝缘电力电缆（上海电缆厂 1960 年生产）组成，每级电缆长度为 200M 左右，分别绕在特制的托盘上（托盘外径 2700MM，内径 2000 MM，利用 3MM 厚钢板焊在由 12 根 10 号槽钢焊成的星形构架上），每层绕 6 圈，共绕 6 层，然后置放在由 65×65×8 角钢焊成的正方形盘架上。电缆两端分别引出，利用特殊加工的粉质胶木园（半导体橡皮）作为引出套管（Φ80/50，=600MM），以减小套管的尺寸。为了增强其绝缘强度，套管内注以低压凡士林油。每级电缆二引出端相互短接（线芯与线芯短接，铅护层与铅护层短接），然后引至导火球极支柱相应的位置。为了改善电场分布，减少电晕效应，电缆托盘四周用圆弧形屏蔽罩（由厚度 2MM 铝板弯成）。每级电缆盘架利用 4 根电木筒作为支柱。根据电木筒沿面放电梯度（每级电缆之间承受直流电压 200KV）和整体结构机械强度及稳定性计算，选择电木筒的尺寸为 Φ240/220， $l = 982\text{MM}$ 。利用特制的法兰盘使电缆盘架固定在电木筒上。由于结构中考虑由电木筒来承受整体结构的重量，电缆盘架只须承受每级电缆本身重量，可大大降低

对电能盘架机械强度的要求，特别是最底下一级电能盘架，这对设计更高参数的冲击电压发生器是有一定的指导作用。

根据“电能型冲击电压发生器模拟线路试验所获得数据”（详见“电能型冲击电压发生器模拟线路试验研究及波形理论分析”研究报告，1962年）并考虑了今后进一步试验研究“电能型冲击电压发生器”在各种不同回路参数下冲击电压波形的要求，确定阻尼电容的数值为 $2200\mu F$ 和 $920\mu F$ ，放电电阻为 13200Ω 。阻尼电容分成二组，根据试验要求选用其中之一组。每组阻尼电容均由相同的4级电容单元组成。第一组阻尼电容采用36#康铜丝绕制，每级电容值为 $550\mu F$ ；第二组阻尼电容采用33#康铜丝绕制，每级电容值为 $230\mu F$ 。同样，放电电阻亦由相同的4级电阻单元组成，每级电阻值为 3300Ω ，采用36#康铜丝绕制。所有的电容元件均绕制在胶木棒上，采用双层无感电容绕法，使电容元件电感值降低至最小的数值。每级阻尼电阻分别在50%，70%和85%电阻值的位置装有插座，电阻元件的一端带有软线和插销，可方便地在一定范围内调节电阻值。每级阻尼电阻和放电电阻分别依次交叉地悬挂在每级电容的铅护层和导火球极支柱之间，维护调节较为方便。

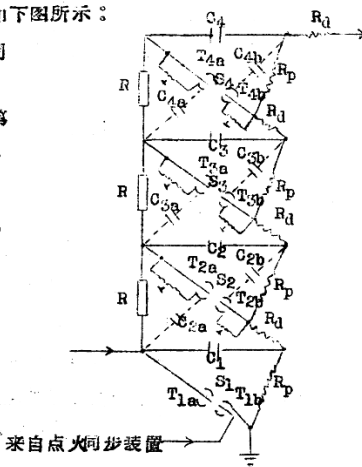
充电电阻取决于冲击电压发生器总放电回路时间常数，根据国外有关文献介绍充电电阻值一般为放电电阻值的20倍左右。考虑到回路的对称性，充电电阻系由3级液体电阻（Φ60长1000MM玻璃管内注满蒸馏水，两端均有铜电极并用环氧树脂密封）组成，每级充电电阻为 $25\text{ k}\Omega$ 左右，分别固定在第一、二、三和四级导火球极支柱之间（导火球极支柱相应位置设有圆弧形的夹具，充电电阻二端可直接塞入），更换方便。

根据充电电压值（200KV）确定导火球极的直径为150MM。导火球极分为固定球极和可动球极，分别固定绝缘支柱相应的法兰盘上。绝缘支柱分别由4根Φ120/90， $l=982\text{ MM}$ 电木筒垂直重迭组成（利用法兰盘连接）。固定可动球极的绝缘支柱考虑有成套的电气传动机构使可动球极

对固定球极作直线移动。球极间距离借助自整角电动机和伺服电动机在控制桌上进行远距离指示和控制并在极限位置装有自动限位装置。

为了使冲击电压发生器与示波器之间同步，一般的冲击电压发生器均将第一级导火球极改用所谓“点火球板”（在球极中心轴上一根与球极绝缘的点火棒并在与另一球极相对的中心处挖一小孔，使点火棒与小孔周围保持一定的空间圆环间隙）利用外加脉冲讯号来触发第一级球板击穿（脉冲讯号施加于点火棒上使其周围间隙先行击穿而导致第一级球板击穿）和启动示波器。由于在相同直径和相同球极间距离条件下点火球板的击穿电压值大大低于一般的球极，因此，一般的冲击电压发生器各级球极之间的动作往往不十分可靠（如第一级导火球板已击穿而其他各级导火球板尚未击穿）。本课题採用 T·E·Broadbent 所介绍的方法，各级导火球板均採用“点火球板”，其接线原理图如下图所示：

当第一级球板 S_1 击穿后，空间电容 C_{2a} 耦合作用使第二级点火球 T_{2a} 的点火板的电压降低，但由于第二级主电容器 C_2 对地电容的作用将使 T_{2a} 维持原有充电电压，因此一个过电压（其幅值取决于充电电压， C_{2a} 值、 T_{2a} 球和其点火板之间的电容以及 C_2 对地的电容）突然呈现在 T_{2a} 的点火板的圆环间隙上并使其击穿；同样，由于空间电容 C_{2b} 耦合作用使 T_{2b} 的点火板的圆环间隙击穿。亦即，当第一级球板间隙 $S_2 \dots \dots S_n$ 立即迅速击穿（比

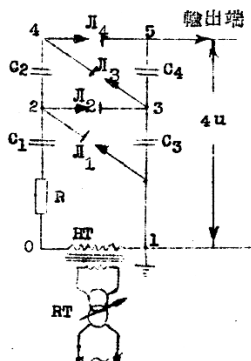


击穿时，第二级及其他各级球板间隙 $S_2 \dots \dots S_n$ 立即迅速击穿（比

採用普通导火球极来得强烈和可靠）。点火线路的时间常数 $C_{2a} \cdot R$ 、 $C_{2b} \cdot R$ 等并不影响整个冲击电压发生器放电迴路的速度，因点火桿的圆环间隙一旦被击穿，电阻 r 立即被短接。电阻 r 的作用主要是使每一級球极在点火之前維持相同的电位。本冲击电压发生器 r 採用 4 只 $2\text{K}\Omega$ 碳膜电阻串联。

2 充电装置

充电装置主要供给冲击电压发生器所需的直流高压电源。根据冲击电压发生器每級高压电容器所需的充电电压，确定充电装置的工作电压为 200KV 。考虑目前国内生产的高压整流管其反峰电压值仅达 140 KV ，因此，充电装置採用下列串級线路（四倍电压串級线路）



图中：

J_1, J_2, J_3, J_4 —— 高压整流管
 C_1, C_2, C_3, C_4 —— 高压电容器
 R —— 保护电阻
 HT —— 高压变压器
 RT —— 感应調壓器

高压整流管系採用上海电子管厂生产的 EI-0-05/140 型整流管（四只）其反峰电压值为 140KV ；工作电流 50MA ；灯丝电压 $10.8 \pm 0.5\text{V}$ ，电流 $11.5 \pm 1.1\text{A}$ 。根据制造厂使用說明規定——“整流管必須浸在变压器油內工作”，因此考虑有安装整流管用的电木筒，其内盛滿变压器油，二端用环氧树脂密封。

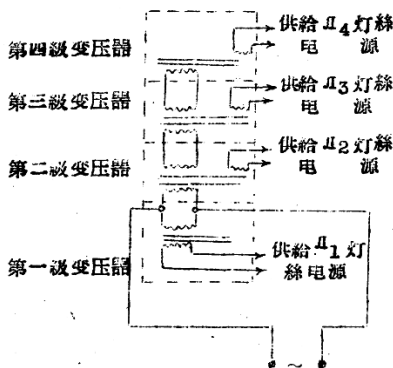
高压电容器採用西安电力电容器厂生产的 My - 200/0-01 型脉冲电容器（四台），脉冲电压 200KV 电容 $10000\mu\text{F}$ ，通过試驗證明，該

电容器允许在直流电压 50KV 下工作。电容器 C_1 , C_2 和 C_3 , C_4 分别相互重叠构成二个电容器柱，4 级整流管依次跨接于二电容器柱间相应的位置。

充电装置的主要关键是供给整流管灯丝加热用变压器的制作，根据所采用的线路电位分布如下：

位 置	1	2	3	4	5
电 位	0	$0 \sim 2u$	$2u$	$2u \sim 4u$	$4u$

灯丝加热变压器的绝缘主要是根据各整流管灯丝所处的电位所决定，应保证在该电压作用下长期、可靠地工作。如采用单独的灯丝加热变压器分别供给相应整流管的灯丝电源，则必须制作能承受 $4u$ （相当于直流 200 KV）电压的绝缘变压器，在现有的条件下是比较困难的，（作了很多试验绝缘均不能达到要求）因此，採用“单柱式串级灯丝加热绝缘变压器”（由四级变压器相互叠接），其原理图如下：



四级变压器相互串接，由第一级变压器依次供给第二、三、四级变压器所需电源，调节第一级变压器初级电压就可保证各级变压器输出各整流

管所需的灯丝电压值。第一級变压器处于零电位，其絕緣不必特殊考慮，第二、三和四級變壓器初、次級繞組之間絕緣應承受 $2u$ 直流电压（100 KV），利用35KV變壓器引出套管來承受這部分的絕緣（變壓器鐵心和初級繞組置放于套管內部，次級繞組直接繞于套管外壁）。變壓器分別安裝在電木筒內，其內盛滿變壓器油，電木筒二端均有法蘭盤，採用環氧樹脂密封。借助法蘭盤使四級電木筒相互疊接，組成燈絲變壓器柱。

充電裝置所需的高壓交流電源系由所內現有高壓試驗變壓器（單相，50 C/S，額定容量50KVA，初級電壓380V，次級電壓50KV）供電，採用感應調壓器（單相，50 C/S，額定容量25KVA，初級電壓380V，次級電壓0~380V）調節所需的電壓。

為了測量充電裝置的輸出電壓值，採用“電阻倍率器”與毫安表相互串聯的測量系統，根據流過電阻倍率器的電流值即可得出相應的電壓值。

倍率電阻器系由15個電阻單元組成。每一電阻單元均採用外塗有機漆的48#鎳鉻絲（Φ0.04MM，單位長度電阻值810Ω/M）依次繞在圓柱形膠木綫盤上，層間絕緣採用0.02MM厚的滌綸，電阻值為20MΩ。每五個單元電阻相互疊接成一組件，放置在電木筒內，筒內注滿變壓器油，二端均有法蘭盤，採用環氧樹脂密封，借助法蘭盤使三個組件疊接成一整體。倍率電阻器總電阻值為300MΩ。選用1.5級毫安表（量程0~1MA）。

為了使衝擊電壓試驗結束後，高壓電容器能迅速放電，確保工作人員的安全，尚考慮有自動接地器。自動接地器系由電動機帶邊輪、蝸桿等傳動機構，保證電源切除後接地棒迅速自動接地。

成套充電裝置（高壓變壓器和調壓器除外）均安裝在可移動的小車底架上，除了供給衝擊電壓發生器的充電電源外，尚可單獨作為直流高壓發生器用。

此外，考慮到EI-0.05/140高壓整流管系浸在油內工作，無法直接觀察其工作情況，因此，成套充電裝置考慮有整流管燈絲斷路自動保護

系統，當打絲迴路故障時，整流管的高壓迴路能迅速切斷。

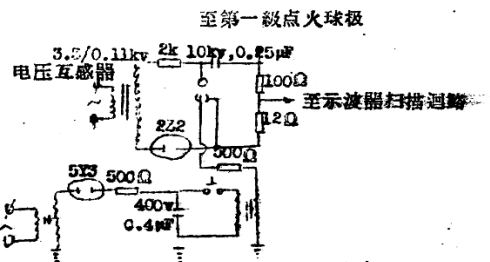
3. 分壓器

分壓器的根本任務是不畸變地傳送衝擊電壓波形。設計製造分壓器時主要應考慮：對地電容所引起的誤差、外部電場的干擾、低壓量測迴路的影響和寄生電感所引起的測量誤差等。一般可分為電阻分壓器、電容分壓器和阻容分壓器（每級電容器上並聯相應的電阻）等三種類型，從頻率特性和測量誤差來分析，電容分壓器和阻容分壓器均較電阻分壓器優越，特別是載波試驗和較高電壓試驗，但電容分壓器價格昂貴且較難購置，結合本衝擊電壓試驗要求，基本上是測量800KV以下全波（1.5/40μS）衝擊電壓波形，根據國外有關文獻介紹採用電阻分壓器仍然能滿足要求（例如時間常數 $RC = 7\mu S$ 的電阻分壓器所測得的1.7/40μS衝擊電壓波形與電容分壓器所測得波形相差無幾，僅波首時間較之拉長3%左右），因此考慮採用電阻分壓器。

為了消除由於電阻分壓器對地寄生電容不均勻而引起測量波形畸變，分壓器考慮由有效電阻和屏蔽電阻組成。為了便於繞制電阻和使用調節方便起見，電阻均分上下二段繞制。有效電阻採用36#鎳鉻絲分二層等節距反向繞制於Φ41膠木棒上，上下二段電阻值均為9500Ω左右；屏蔽電阻採用36#鎳鉻絲繞制（單線反向兩排繞制）於由膠木板組成的圓角形框架上，上下二段電阻值約6100Ω左右。有效電阻置放於屏蔽電阻框架的中心軸上。與示波器配合的低壓臂電阻亦採用36#鎳鉻絲繞制於膠木板上，為了匹配量測迴路方便起見，低壓臂電阻考慮有100%，50%和25%電阻值的抽頭，總電阻值52Ω（與所選用同軸電纜的波阻抗相等）。

4. 点火同步装置

為了記錄完整的衝擊電壓波形，要求衝擊電壓發生器與示波器嚴密同步。本衝擊電壓發生器採用如下線路的點火同步裝置：



示波器外来同步启动电压对冲击电压波形有很大的影响，如启动电压不够能启动，则示波器扫描速度在起始处附近就要发生畸变，致使冲击电压波形的波首突变（实际的波形并非陡波），如启动电压再低些，示波器荧光屏上将呈现一根垂直的电压线，因此，必须保证同步启动电压有足够的数值才不至使所记录的冲击电压波形发生畸变。试验证明，采用现有点火同步装置同步启动电压较低，必须采用其他线路的点火同步装置。本冲击电压发生器目前只用点火同步装置来点燃第一级导火球极，并用天线将导火球极所发出的电磁波引至示波器的扫描迴路，基本上能达到相互同步。

5. 控制桌

控制桌作为成套冲击电压发生器的控制中心。所有控制元件（如电源开关、电铃开关、高压变压器线路合闸和分闸按钮、升压和降压按钮、导火球极极间距离的增大和减小按钮以及同步点火讯号触发按钮等），指示测量元件（如各主要元件动作讯号指示灯、充放电装置电压指示仪表和导火球极极间距离指示器等）和调节整流管灯丝电压用的调压器等均安装在控制桌面板上，其他保护元件（如过电流继电器和熔断器等）和电磁开关（如磁力起动器、接触器和中间继电器等）均安装在控制桌内部，整个冲击电压试验的操作控制均集中在控制桌上进行。为了保护电器元件和连接导线免于遭受由于冲击电压试验过程中地电位抬高而致绝缘损伤，所有经过冲击电压试验区域而引入控制桌的连接导线均分别採用电容器（1KV

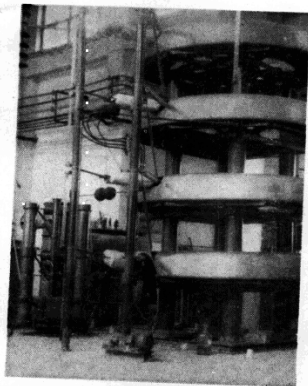
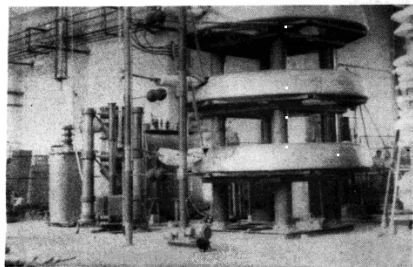
0.1 μF) 保护。

6. 隔离变压器

为了避免由于冲击电压試驗過程中地電位抬高而影响至供电系統的絕緣安全，分別考慮了一台單相和一台三相隔离变压器，其变压比均为1:1，容量約5KVA左右，初次級繞組絕緣能承受50KV冲击电压（根据有关文献介紹，冲击电压試驗地電位抬高的电压值約每1000KV抬高30KV）。整套冲击电压試驗所須的电源均由隔离变压器供电。此外，示波器的电源亦由单独的隔离变压器供給。

7. 高压示波器

为了錄取冲击电压試驗的波形，自行装配了一台高压示波器（除示波管採用德国进口外，其它元件均採用国产产品或自行制作）。該示波器已进行整机調整試驗，基本上满足技术要求。（詳見高压示波器試制总结报告）。



三、鑑定試驗

為了全面考核本冲击电压发生器的基本性能，在去年已對成套單件進行試驗的基礎上，進行下列鑑定試驗，試驗線路如圖—3—1和圖3—2所示：

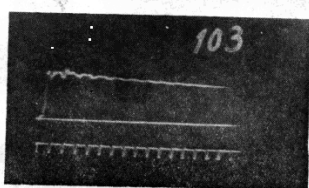
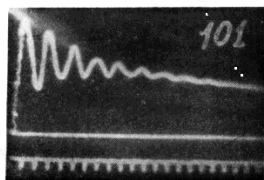
3—1. 週路寄生參數測定

在正極性接線條件下將阻尼電阻短接 ($R_d = 0$)，負荷電容 $C_L = 23.50 \mu\text{F}$ 和 $C_L = 0$ 兩種情況下分別錄取振盪波形，並根據振盪周期計算週路寄生電感和寄生電容，其結果如下：

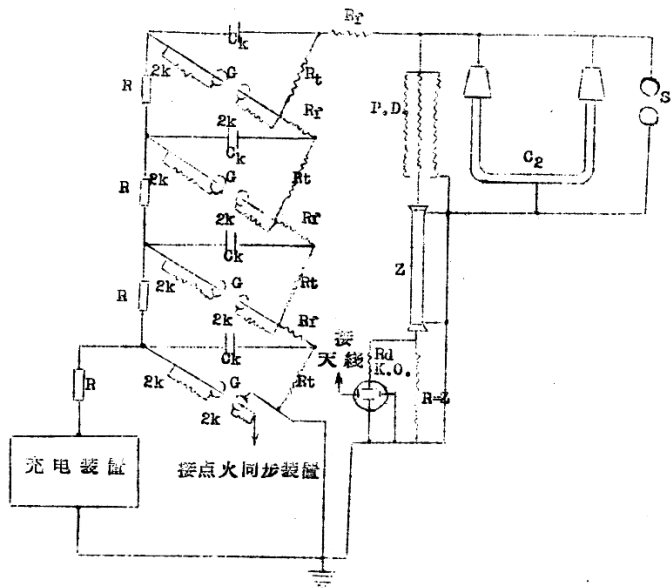
示波圖編號	負荷電容 $C_2 (\mu\text{F})$	振盪周期 $T (\text{ms})$
101	23.50	2
103	0	1.1

$$\text{週路寄生電感 } L_s = \frac{T^2}{4\pi^2 C_k C_L / C_k + C_L} \approx 50 \mu\text{H}$$

$$\text{週路寄生電容 } C_s = \frac{T^2}{4\pi^2 L_s} \approx 610 \mu\text{F}$$



(註：所有示波圖單位時標為 $1.0 \mu\text{s}$)



C_K —— 主电容，4 级电容，每级平均 $57500 \mu\mu F$

R —— 充电电阻， $20 k\Omega$

R_f —— 放电电阻 3300Ω

R · D · —— 电阻分压器（用第二组）

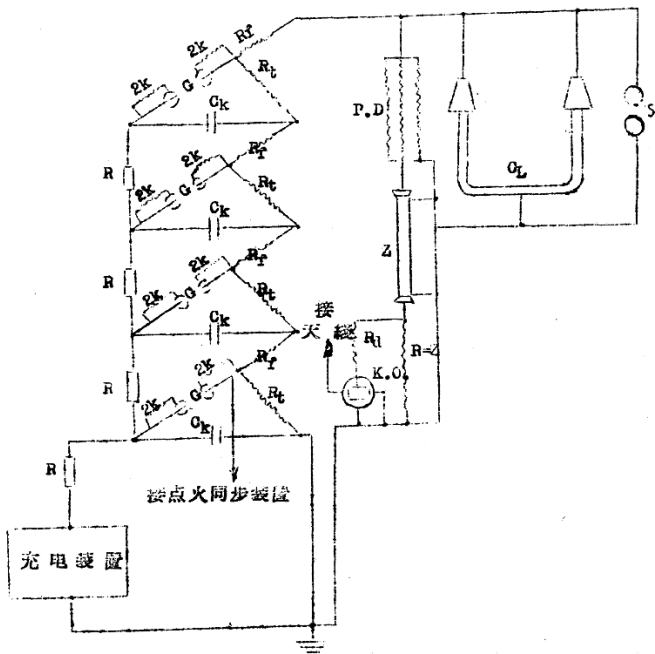
Z —— 同轴电缆，波阻抗 = 52Ω

C_L —— 负荷电容 (W_1 、 2 、 3 电缆样品)

S —— 测量球极， $\Phi 500$ 毫米

K · O —— 高压示波器

图：3-1 800KV "电缆型冲击电压发生器" 正极性接线图



C_K —— 主电容，4级电容，每级平均 $57500 \mu\mu F$

R —— 充电电阻， $20 k\Omega$ ； R_T —— 阻尼电阻（共有两套不同数值）；

R_t —— 放电电阻， 3300Ω ； $p.D.$ —— 电阻分压器（用第二组）；

Z —— 同轴电缆，波阻抗 = 52Ω ；

C_L —— 负荷电容（ N_1 、 N_2 、 N_3 电容样品）；

S —— 测量球极， $\Phi 500$ 毫米；

K.O. —— 高压示波器。

图 - 3 - 2 800kV "电缆型冲击电压发生器" 负极性接线图

3-2· 正极性接綫条件下波首时间与迴路参数关系曲线試驗

在各种不同負荷电容值和阻尼电阻值下分別錄取冲击电压波形，並根据示波图直接測量其波首时间和波尾时间，然後分別繪制不同負荷电容值下的阻尼电阻与波首时间关系曲线（如图 3-2-1 所示），試驗結果如下：

示波图編號	負荷电容 C_L (MMF)	$\frac{C_K}{C_L}$	阻尼电阻 (Ω)	波首時間 / 波尾時間 (μs)	
				5	4
201	4640 + 610	2.7	120	3.9 / 44	
203	4640 + 610	2.7	158	4.25 / 48	
205	4640 + 610	2.7	195	5.6 / 58	
207	4640 + 610	2.7	230	6.5 / 63.5	
209	3480 + 610	3.5	120	2.7 / 30	
211	3480 + 610	3.5	158	3.7 / 39.6	
213	3480 + 610	3.5	195	4.2 / 48.4	
215	3480 + 610	3.5	230	5.1 / 56.3	
217	2350 + 610	4.9	120	2.3 / 33.1	
219	2350 + 610	4.9	158	2.9 / 39	
221	2350 + 610	4.9	195	3.4 / 39	
223	2350 + 610	4.9	230	4.2 / 45.7	
225	1130 + 610	8.3	158	2.1 / 35.2	
227	1130 + 610	8.3	195	2.3 / 36.1	
229	1130 + 610	8.3	230	2.5 / 37.3	
231	1130 + 610	8.3	288	2.8 / 38	

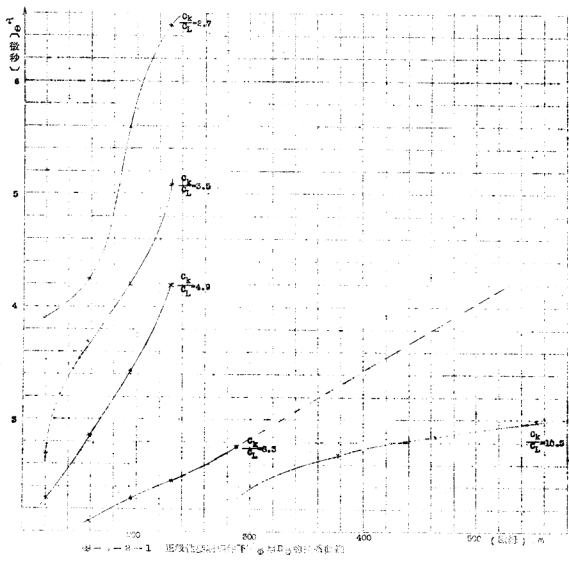


图 1-2-1 近似直线化条件下， $\frac{1}{T}$ 与 $\frac{1}{C}$ 的关系曲线

1	2	3	4	5
233	760 + 610	10.5	288	2.3/36
235	760 + 610	10.5	378	2.7/38.3
237	760 + 610	10.5	465	2.9/43.2
239	760 + 610	10.5	554	3/47

註：以上試驗波尾电阻固定为 3300 Ω

